

Starkniederschlagshöhen und -spenden gemäß KOSTRA-DWD-2020

Rasterfeld 135108

(Zeile 135, Spalte 108)

Regenspende und Bemessungsniederschlagswerte in Abhängigkeit von Wiederkehrzeit T und Dauerstufe D

| Dauerstufe D | | Wiederkehrzeit T | | | | | | | | | | | | | | | | | |
|--------------|-----|------------------|------------|-------|------------|-------|------------|-------|------------|-------|------------|-------|------------|-------|------------|-------|------------|-------|------------|
| | | 1 a | | 2 a | | 3 a | | 5 a | | 10 a | | 20 a | | 30 a | | 50 a | | 100 a | |
| min | Std | mm | l / (s ha) | mm | l / (s ha) | mm | l / (s ha) | mm | l / (s ha) | mm | l / (s ha) | mm | l / (s ha) | mm | l / (s ha) | mm | l / (s ha) | mm | l / (s ha) |
| 5 | | 6,3 | 210,0 | 7,6 | 253,3 | 8,4 | 280,0 | 9,5 | 316,7 | 11,0 | 366,7 | 12,5 | 416,7 | 13,5 | 450,0 | 14,9 | 496,7 | 16,8 | 560,0 |
| 10 | | 8,1 | 135,0 | 9,7 | 161,7 | 10,8 | 180,0 | 12,1 | 201,7 | 14,0 | 233,3 | 16,0 | 266,7 | 17,3 | 288,3 | 19,0 | 316,7 | 21,5 | 358,3 |
| 15 | | 9,3 | 103,3 | 11,2 | 124,4 | 12,4 | 137,8 | 13,9 | 154,4 | 16,2 | 180,0 | 18,4 | 204,4 | 19,9 | 221,1 | 21,9 | 243,3 | 24,7 | 274,4 |
| 20 | | 10,3 | 85,8 | 12,4 | 103,3 | 13,7 | 114,2 | 15,4 | 128,3 | 17,9 | 149,2 | 20,4 | 170,0 | 22,0 | 183,3 | 24,2 | 201,7 | 27,3 | 227,5 |
| 30 | | 11,9 | 66,1 | 14,3 | 79,4 | 15,8 | 87,8 | 17,7 | 98,3 | 20,5 | 113,9 | 23,4 | 130,0 | 25,4 | 141,1 | 27,8 | 154,4 | 31,4 | 174,4 |
| 45 | | 13,6 | 50,4 | 16,4 | 60,7 | 18,1 | 67,0 | 20,4 | 75,6 | 23,6 | 87,4 | 27,0 | 100,0 | 29,2 | 108,1 | 32,0 | 118,5 | 36,1 | 133,7 |
| 60 | 1 | 15,1 | 41,9 | 18,1 | 50,3 | 20,0 | 55,6 | 22,5 | 62,5 | 26,1 | 72,5 | 29,8 | 82,8 | 32,2 | 89,4 | 35,3 | 98,1 | 39,9 | 110,8 |
| 90 | 1,5 | 17,3 | 32,0 | 20,8 | 38,5 | 23,0 | 42,6 | 25,9 | 48,0 | 30,0 | 55,6 | 34,2 | 63,3 | 37,0 | 68,5 | 40,6 | 75,2 | 45,8 | 84,8 |
| 120 | 2 | 19,1 | 26,5 | 23,0 | 31,9 | 25,4 | 35,3 | 28,5 | 39,6 | 33,1 | 46,0 | 37,8 | 52,5 | 40,8 | 56,7 | 44,8 | 62,2 | 50,6 | 70,3 |
| 180 | 3 | 22,0 | 20,4 | 26,4 | 24,4 | 29,2 | 27,0 | 32,8 | 30,4 | 38,0 | 35,2 | 43,4 | 40,2 | 46,9 | 43,4 | 51,5 | 47,7 | 58,1 | 53,8 |
| 240 | 4 | 24,2 | 16,8 | 29,1 | 20,2 | 32,2 | 22,4 | 36,2 | 25,1 | 41,9 | 29,1 | 47,9 | 33,3 | 51,8 | 36,0 | 56,9 | 39,5 | 64,2 | 44,6 |
| 360 | 6 | 27,8 | 12,9 | 33,5 | 15,5 | 37,0 | 17,1 | 41,6 | 19,3 | 48,2 | 22,3 | 55,0 | 25,5 | 59,5 | 27,5 | 65,3 | 30,2 | 73,7 | 34,1 |
| 540 | 9 | 32,0 | 9,9 | 38,5 | 11,9 | 42,5 | 13,1 | 47,8 | 14,8 | 55,4 | 17,1 | 63,2 | 19,5 | 68,3 | 21,1 | 75,0 | 23,1 | 84,7 | 26,1 |
| 720 | 12 | 35,3 | 8,2 | 42,4 | 9,8 | 46,9 | 10,9 | 52,7 | 12,2 | 61,1 | 14,1 | 69,7 | 16,1 | 75,4 | 17,5 | 82,8 | 19,2 | 93,4 | 21,6 |
| 1080 | 18 | 40,5 | 6,3 | 48,8 | 7,5 | 53,9 | 8,3 | 60,5 | 9,3 | 70,2 | 10,8 | 80,1 | 12,4 | 86,6 | 13,4 | 95,1 | 14,7 | 107,3 | 16,6 |
| 1440 | 24 | 44,7 | 5,2 | 53,8 | 6,2 | 59,4 | 6,9 | 66,8 | 7,7 | 77,4 | 9,0 | 88,4 | 10,2 | 95,6 | 11,1 | 105,0 | 12,2 | 118,4 | 13,7 |
| 2880 | 48 | 56,7 | 3,3 | 68,2 | 3,9 | 75,3 | 4,4 | 84,7 | 4,9 | 98,1 | 5,7 | 112,0 | 6,5 | 121,1 | 7,0 | 133,0 | 7,7 | 150,1 | 8,7 |
| 4320 | 72 | 65,1 | 2,5 | 78,3 | 3,0 | 86,5 | 3,3 | 97,3 | 3,8 | 112,7 | 4,3 | 128,7 | 5,0 | 139,1 | 5,4 | 152,8 | 5,9 | 172,4 | 6,7 |
| 5760 | 96 | 71,9 | 2,1 | 86,4 | 2,5 | 95,5 | 2,8 | 107,3 | 3,1 | 124,4 | 3,6 | 142,0 | 4,1 | 153,5 | 4,4 | 168,6 | 4,9 | 190,3 | 5,5 |
| 7200 | 120 | 77,6 | 1,8 | 93,3 | 2,2 | 103,0 | 2,4 | 115,8 | 2,7 | 134,3 | 3,1 | 153,3 | 3,5 | 165,7 | 3,8 | 182,0 | 4,2 | 205,4 | 4,8 |
| 8640 | 144 | 82,6 | 1,6 | 99,3 | 1,9 | 109,7 | 2,1 | 123,3 | 2,4 | 142,9 | 2,8 | 163,1 | 3,1 | 176,4 | 3,4 | 193,7 | 3,7 | 218,6 | 4,2 |
| 10080 | 168 | 87,0 | 1,4 | 104,7 | 1,7 | 115,6 | 1,9 | 130,0 | 2,1 | 150,6 | 2,5 | 171,9 | 2,8 | 185,9 | 3,1 | 204,2 | 3,4 | 230,4 | 3,8 |

Starkniederschlagshöhen und -spenden gemäß KOSTRA-DWD-2020

Rasterfeld 135108

(Zeile 135, Spalte 108)

Örtliche Unsicherheiten in Abhängigkeit von Wiederkehrzeit T und Dauerstufe D

| Dauerstufe D | | Wiederkehrzeit T | | | | | | | | |
|--------------|-----|------------------|-----|-----|-----|------|------|------|------|-------|
| | | 1 a | 2 a | 3 a | 5 a | 10 a | 20 a | 30 a | 50 a | 100 a |
| min | Std | ± % | ± % | ± % | ± % | ± % | ± % | ± % | ± % | ± % |
| 5 | | 21 | 22 | 23 | 24 | 24 | 25 | 25 | 26 | 26 |
| 10 | | 22 | 23 | 24 | 25 | 26 | 26 | 27 | 27 | 28 |
| 15 | | 21 | 23 | 24 | 25 | 26 | 26 | 27 | 27 | 28 |
| 20 | | 21 | 23 | 23 | 24 | 25 | 26 | 26 | 27 | 27 |
| 30 | | 20 | 21 | 22 | 23 | 24 | 25 | 25 | 26 | 26 |
| 45 | | 18 | 20 | 21 | 22 | 23 | 23 | 24 | 24 | 25 |
| 60 | 1 | 17 | 19 | 20 | 21 | 22 | 22 | 23 | 23 | 24 |
| 90 | 1,5 | 15 | 17 | 18 | 19 | 20 | 21 | 21 | 21 | 22 |
| 120 | 2 | 14 | 16 | 16 | 17 | 18 | 19 | 20 | 20 | 21 |
| 180 | 3 | 12 | 14 | 15 | 15 | 17 | 17 | 18 | 18 | 19 |
| 240 | 4 | 11 | 13 | 13 | 14 | 15 | 16 | 16 | 17 | 17 |
| 360 | 6 | 10 | 11 | 12 | 13 | 13 | 14 | 15 | 15 | 16 |
| 540 | 9 | 8 | 10 | 10 | 11 | 12 | 13 | 13 | 13 | 14 |
| 720 | 12 | 8 | 9 | 9 | 10 | 11 | 12 | 12 | 12 | 13 |
| 1080 | 18 | 8 | 8 | 9 | 9 | 10 | 10 | 11 | 11 | 11 |
| 1440 | 24 | 8 | 8 | 9 | 9 | 9 | 10 | 10 | 10 | 11 |
| 2880 | 48 | 11 | 10 | 10 | 10 | 10 | 10 | 10 | 10 | 10 |
| 4320 | 72 | 13 | 12 | 11 | 11 | 11 | 11 | 11 | 11 | 11 |
| 5760 | 96 | 14 | 13 | 13 | 12 | 12 | 12 | 11 | 11 | 11 |
| 7200 | 120 | 15 | 14 | 14 | 13 | 13 | 12 | 12 | 12 | 12 |
| 8640 | 144 | 16 | 15 | 14 | 14 | 13 | 13 | 13 | 13 | 13 |
| 10080 | 168 | 17 | 16 | 15 | 15 | 14 | 14 | 14 | 13 | 13 |

Parameter für abweichende T und D

Lokationsparameter ξ (Xi)

15,09987738

Skalenparameter α (Alpha)

4,25404297

Formparameter κ (Kappa)

-0,1

1. Koutsoyiannis-Parameter θ (Theta)

0,00230005

2. Koutsoyiannis-Parameter η (Eta)

0,65801964

Parameter für dauerstufenübergreifende Extremwertschätzung nach KOUTSOYIANNIS et al. 1998.

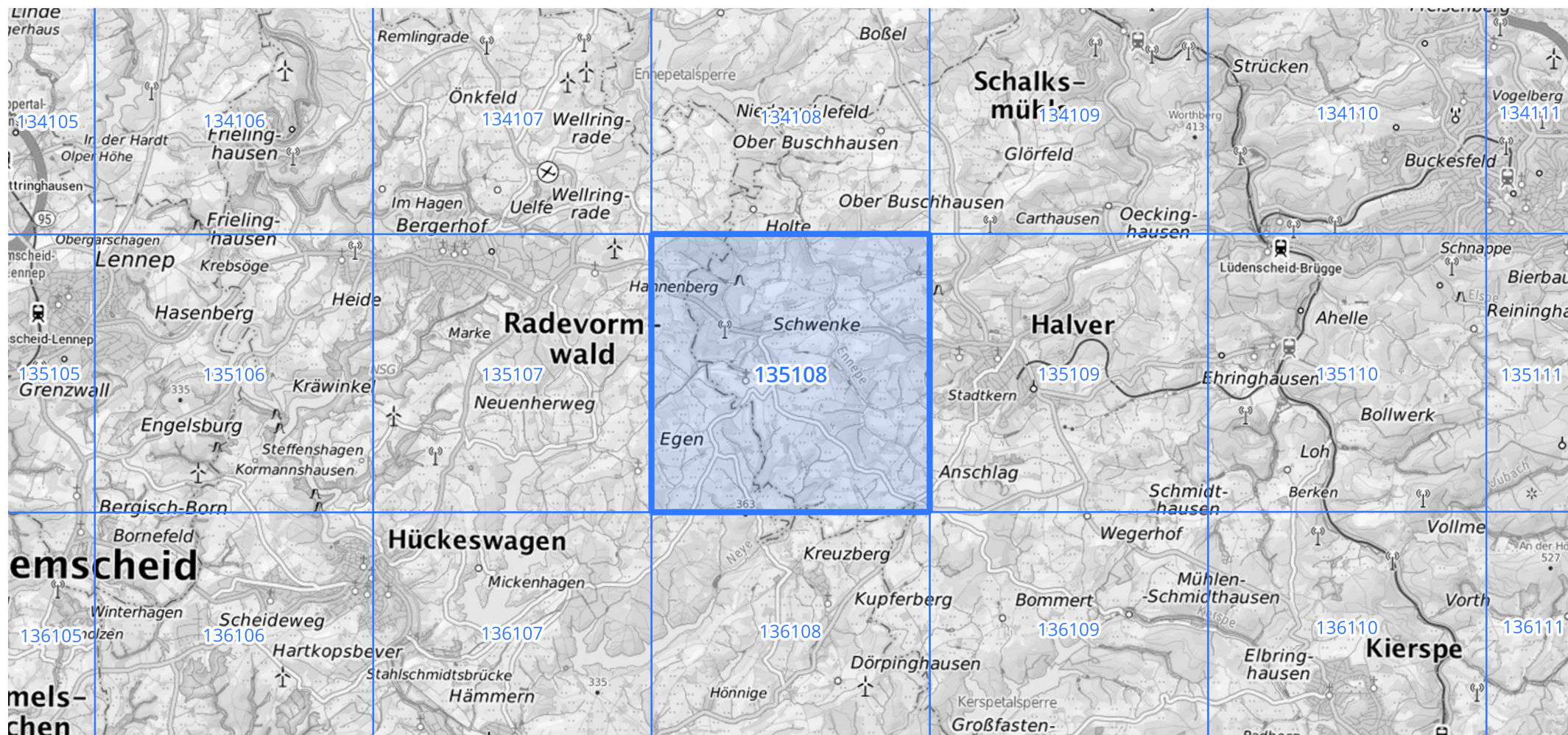
Siehe auch Anwendungshilfe zu KOSTRA-DWD-2020 des Deutschen Wetterdienstes.

Starkniederschlagshöhen und -spenden gemäß KOSTRA-DWD-2020

Rasterfeld 135108

(Zeile 135, Spalte 108)

Übersichtskarte des Rasterfeldes 135108, M 1 : 100 000



Quelle Rasterdaten: KOSTRA-DWD-2020 des Deutschen Wetterdienstes, Stand 12/2022.

Seite 3 von 3

Kartendarstellung: © Bundesamt für Kartographie und Geodäsie (2023), Datenquellen: https://gsx.geodatenzentrum.de/web_public/gdz/datenquellen/Datenquellen_TopPlusOpen.html

Für die Richtigkeit und Aktualität der Angaben wird keine Gewähr übernommen. Erstellt 01/2023.